

# Równoległa implementacja algorytmu Gaussa-Jordana w CUDA

Seweryn Tasior, WI

29 grudnia 2025

## 1 Wprowadzenie

### 1.1 Cel ćwiczenia

Celem ćwiczenia jest implementacja równoległego algorytmu eliminacji Gaussa-Jordana do rozwiązywania układów równań liniowych na platformie GPU. Kluczowym aspektem zadania jest dekompozycja algorytmu na elementarne operacje macierzowe, zdefiniowanie alfabetu, znalezienie relacji zależności, grafu Diekerta i klasy Foaty co pozwala na ich niezależne wykonanie przez wiele wątków.

### 1.2 Środowisko testowe

Implementację oraz testy wydajnościowe przeprowadzono na komputerze przenośnym Gigabyte Gaming A16 3VH, wyposażonym w:

- Procesor: 8-rdzeniowy, taktowanie 3.8 GHz.
- Karta graficzna: NVIDIA GeForce RTX 5060
- System operacyjny: Windows 11 Home.

## 2 Analiza teoretyczna

Rozważamy układ równań liniowych reprezentowany przez macierz rozszerzoną  $M$  o wymiarach  $n \times (n + 1)$ , powstałą przez dołączenie wektora wyrazów wolnych  $b$  do macierzy współczynników  $A$ :

$$M = \left[ \begin{array}{cccc|c} M_{11} & M_{12} & \cdots & M_{1n} & b_1 = M_{1(n+1)} \\ M_{21} & M_{22} & \cdots & A_{2n} & b_2 = M_{2(n+1)} \\ \vdots & \vdots & \ddots & \vdots & \vdots \\ M_{n1} & M_{n2} & \cdots & M_{nn} & b_n = M_{n(n+1)} \end{array} \right]$$

### 2.1 Metoda Gaussa a Gaussa-Jordana

Klasyczna eliminacja Gaussa sprowadza macierz do postaci górnopróbkowej, co wymaga późniejszego "podstawiania wstecz" w celu obliczenia niewiadomych. Metoda Gaussa-Jordana kontynuuje eliminację, zerując również elementy powyżej głównej przekątnej oraz normalizując przekątną do jedynek. Wynikiem jest macierz jednostkowa w części  $A$  oraz wektor rozwiązań w ostatniej kolumnie, co eliminuje etap podstawiania i lepiej nadaje się do zrównoleglenia.

### 2.2 Niepodzielne zadania obliczeniowe

W celu zrównoleglenia algorytmu, proces obliczeniowy podzielono na pięć typów operacji :

- $A_{i,j}$  - obliczenie mnoźnika wykorzystywanego dla wierszy z kolumny  $j$  względem pivota w wierszu  $i$ ,  
 $a_{j,i} = M_{i,i}/M_{j,i}$
- $B_{i,j,k}$  - pomnożenie każdego elementu z  $k$ -tego wiersza przez mnoźnik,  
 $M_{j,k} = M_{j,k}/a_{j,i}$
- $C_{i,j,k}$  - właściwa eliminacja - odjęcie od każdego elementu z wiersz  $k$ -tego elementu wiersza z pivotem tak by zerować  $j$ -tą kolumnę ,  
 $M_{j,k} = M_{j,k} - M_{i,k}$

- $D_i$  - obliczenie odwrotności elementu na przekątnej macierzy w celu normalizacji (po zakończeniu eliminacji),  
 $d_i = 1/M_{i,i}$
- $E_{i,k}$  - doprowadzenie do postaci jednostkowej i otrzymanie wyniku w kolumnie z wyrazami wolnymi  
 $M_{i,k} = M_{i,k} * d_i$

## 2.3 Algorytm sekwencyjny

Eliminację przeprowadzamy tak, aby zerować elementy ( oprócz tych leżących na przekątnej inaczej pivotów ) w kolejnych kolumnach. W każdym z tych kroków dla każdego wiersza znajdujemy współczynnik  $a_{j,i}$  ( operacja **A** ), następnie mnożymy go przez każdy element w wierszu ( operacja **B** ) i odejmujemy od niego element z tej samej kolumny ( operacja **C** ), ale z wiersza zawierającego pivot. Otrzymujemy postać macierzy diagonalnej, którą należy znormalizować. Dla każdego wiersza obliczamy odwrotność elementu na przekątnej  $d_i$  ( operacja **D** ), następnie kolejne elementy z wiersza mnożymy przez  $d_i$  ( operacja **E** ).

Poniższy kod przedstawia logikę algorytmu, która posłużyła do analizy zależności danych.

```
def gauss_jordan(A, b):
    n = len(A)
    for i in range(n):
        # Doklejenie wektora b do macierzy
        A[i].append(b[i])
    for i in range(n):
        for j in range(n):
            if i==j:
                continue
            # Operacja A:
            a_ji = A[i][i] / A[j][i]
            for k in range(n+1):
                # Operacja B:
                A[j][k] = A[j][k] * a_ji
                # Operacja C:
                A[j][k] = A[j][k] - A[i][k]
    for i in range(n):
        # Operacja D:
        d_i = 1.0 / A[i][i]
        for k in range(i, n + 1):
            # Operacja E:
            A[i][k] = A[i][k] * d_i
    return A
```

## 2.4 Alfabet w sensie teorii śladów

Alfabet zadań  $\Sigma$  dla problemu o rozmiarze  $N$  definiujemy jako sumę zbiorów operacji:

$$\Sigma = A \cup B \cup C \cup D \cup E$$

Gdzie każdą z tych operacji definiujemy jako:

- $A = \{A_{i,j} : i, j \in \{1, \dots, N\} \wedge i \neq j\}$
- $B = \{B_{i,j,k} : i, j \in \{1, \dots, N\} \wedge k \in \{1, \dots, N+1\} \wedge i \neq j\}$
- $C = \{C_{i,j,k} : i, j \in \{1, \dots, N\} \wedge k \in \{1, \dots, N+1\} \wedge i \neq j\}$
- $D = \{D_i : i \in \{1, \dots, N\}\}$
- $E = \{E_{i,k} : i \in \{1, \dots, N\} \wedge k \in \{i, \dots, N+1\}\}$

## 2.5 Relacje zależności

Relacja zależności  $\mathcal{D}$  określa, które operacje muszą być wykonane sekwencyjnie.

$$\mathcal{D} = \text{sym}\{Z_1 \cup Z_2 \cup Z_3 \cup Z_4 \cup Z_5 \cup Z_6\}^+ \cup I_\Sigma \quad (1)$$

- **Zależności na podstawie przebiegu danych w algorytmie**

– Zbiór  $Z_1$  Zależność między obliczeniem mnożnika a jego użyciem

$$Z_1 = \{(A_{i,j}, B_{i,j,k}) : i, j \in \{1, \dots, N\} \wedge k \in \{i, \dots, N+1\} \wedge i \neq j\} \quad (2)$$

- Zbiór  $Z_2$  Zależność między przygotowaniem wartości a odejmowaniem

$$Z_2 = \{(B_{i,j,k}, C_{i,j,k}) : i, j \in \{1, \dots, N\} \wedge k \in \{i, \dots, N+1\} \wedge i \neq j\} \quad (3)$$

- **Zależności wynikające z operacji na danych między różnymi wierszami**

- Zbiór  $Z_3$ , i  $Z_4$  zależności między kolejnymi krokami eliminacji dla tej samej komórki macierzy (krok  $i$  musi zakończyć się przed krokiem  $i+1$ )

$$Z_3 = \{(C_{i-1,j,i}, A_{i,j}) : i, j \in \{2, \dots, N\} \wedge i < j\} \quad (4)$$

$$Z_4 = \{(C_{i-1,i,i}, A_{i,j}) : i, j \in \{2, \dots, N\} \wedge i \neq j\} \quad (5)$$

- **Zależności pojawiające się na etapie normalizacji**

- Zbiór  $Z_5$ ,  $Z_6$  obliczenia odwrotności pivota i doprowadzenie do postaci jedynek na przekątnej, uzykanie wyniku w ostatniej kolumnie

$$Z_5 = \{(D_i, E_{i,k}) : i, k \in \{i, \dots, N\}\} \quad (6)$$

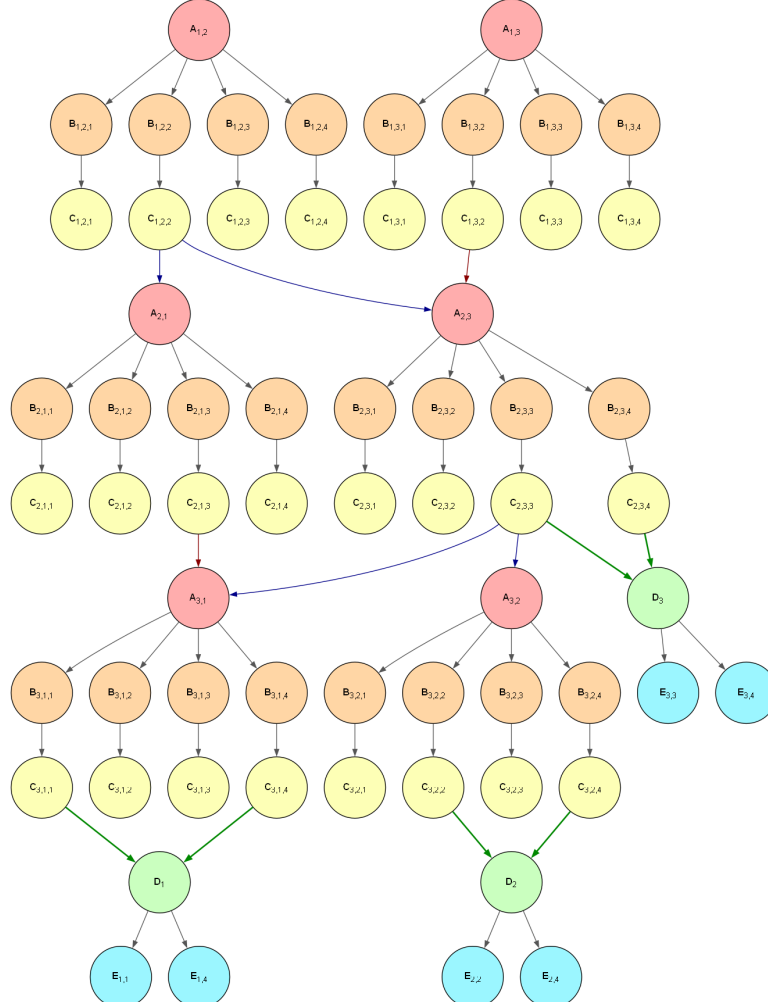
$$Z_6 = \{(C_{n,i,k}, D_i) : i, j \in \{1, \dots, N\} \wedge k \in \{i, \dots, N+1\}\} \quad (7)$$

W celu ułatwienia tworzenia grafu Diekerta zmniejszono zbiór, bo macierz jednostkowa ( w innych miejscach zera)

$$Z_6 = \{(C_{n,i,i}, D_i), (C_{n,i,n+1}, D_i) : i \in \{1, \dots, N\}\} \quad (8)$$

## 2.6 Graf zależności Diekerta

Ogólny graf dla  $N = 3$  przedstawiający zależności pomiędzy operacjami



## 2.7 Postać Normalna Foaty (FNF)

Postać normalna Foaty przedstawia klasy operacji, które mogą być wykonywane równolegle. Dla algorytmu Gaussa-Jordana poszczególne warstwy odpowiadają kolejnym kolumnom pivota:

$FNF =$

$$\begin{aligned} & [\{A_{1,2}, A_{1,3}, \dots, A_{1,n}\}]_{\equiv_I^+} \cap \\ & [\{B_{1,2,1}, B_{1,2,2}, \dots, B_{1,2,n+1}, B_{1,3,1}, B_{1,3,2}, \dots, B_{1,3,n+1}, \dots, B_{1,n,1}, B_{1,n,2}, \dots, B_{1,n,n+1}\}]_{\equiv_I^+} \cap \\ & [\{C_{1,2,1}, C_{1,2,2}, \dots, C_{1,2,n+1}, C_{1,3,1}, C_{1,3,2}, \dots, C_{1,3,n+1}, \dots, C_{1,n,1}, C_{1,n,2}, \dots, C_{1,n,n+1}\}]_{\equiv_I^+} \cap \\ & [\{A_{2,1}, A_{2,3}, \dots, A_{2,n}\}]_{\equiv_I^+} \cap \\ & [\{B_{2,1,1}, \dots, B_{2,2,n+1}, B_{2,3,2}, \dots, B_{2,3,n+1}, \dots, B_{2,n,2}, \dots, B_{2,n,n+1}\}]_{\equiv_I^+} \cap \\ & [\{C_{2,1,1}, \dots, C_{2,2,n+1}, C_{2,3,2}, \dots, C_{2,3,n+1}, \dots, C_{2,n,2}, \dots, C_{2,n,n+1}\}]_{\equiv_I^+} \cap \\ & \dots \cap \\ & [\{A_{n,1}, A_{n,2}, \dots, A_{n,n-1}\}]_{\equiv_I^+} \cap \\ & [\{B_{n,1,1}, B_{n,1,n}, B_{n,1,n+1}, B_{n,2,2}, B_{n,2,n}, B_{n,2,n+1}, \dots, B_{n,n-1,n-1}, B_{n,n-1,n}, B_{n,n-1,n+1}\}]_{\equiv_I^+} \cap \\ & [\{C_{n,1,1}, C_{n,1,n}, C_{n,1,n+1}, C_{n,2,2}, C_{n,2,n}, C_{n,2,n+1}, \dots, C_{n,n-1,n-1}, C_{n,n-1,n}, C_{n,n-1,n+1}\}]_{\equiv_I^+} \cap \\ & [\{D_1, D_2, \dots, D_n\}]_{\equiv_I^+} \cap \\ & [\{E_{1,1}, E_{1,n+1}, E_{2,2}, E_{2,n+1}, \dots, E_{n,n}, E_{n,n+1}\}]_{\equiv_I^+} \end{aligned}$$

## 3 Realizacja implementacyjna ćwiczenia

### 3.1 Środowisko programistyczne

Solver zaimplementowano w języku C++ z wykorzystaniem CUDA API. Obliczenia podwójnej precyzji (`double`) wykonywane są na GPU. Weryfikacja poprawności (porównanie wyników, obliczanie normy błędu) realizowana jest przez zewnętrzny moduł w języku Java (`MatrixTW`). Całość procesu budowania i testowania automatyzują skrypty Makefile i PowerShell.

Cały proces komplikacji i testowania wykonano dla różnych rozmiarów problemu ( $N \in \{5, 10, 20, 50, 100, 400, 1000\}$ ). W celu wyeliminowania niestabilności numerycznych (np. wartości `NaN` lub błędów maszynowych rzędu  $10^{-17}$ ) zastosowano mechanizmy progowania (thresholding) oraz "twardego zerowania" kolumn pivot.

### 3.2 Wersja 1: Implementacja naiwna (Niestabilna)

Pierwsza wersja opierała się na bezpośrednim odwzorowaniu modelu teoretycznego z podziałem na osobne kernele dla operacji  $A$ ,  $B$ ,  $C$ ,  $D$  i  $E$ .

**Problem:** W tej wersji mnożnik zdefiniowany jako  $a_{ji} = \frac{A_{ii}}{A_{ji}}$  (odwrotność standardowego mnożnika), co prowadziło do mnożenia wiersza przez bardzo duże wartości, gdy  $A_{ji}$  było bliskie zeru. Skutkowało to błędami numerycznymi i wynikami `NaN` dla macierzy o rozmiarze  $N > 20$ .

```
#define IDX(row, col, N) ((row) * ((N) + 1) + (col))
// Kernel A: Dzielenie przez element eliminowany (niebezpieczne numerycznie)
__global__ void operation_A(double *A, double *a_ji, int i, int N) {
    int j = blockIdx.x * blockDim.x + threadIdx.x;
    if (j < N && j != i) {
        if (abs(A[IDX(j, i, N)]) > 1e-15) {
            a_ji[j] = A[IDX(i, i, N)] / A[IDX(j, i, N)];
        } else {
            a_ji[j] = 0.0;
        }
    }
}

__global__ void operation_B(double *A, double *a_ji, int i, int N) {
    int j = blockIdx.y * blockDim.y + threadIdx.y;
    int k = blockIdx.x * blockDim.x + threadIdx.x;

    if (j < N && k < N + 1 && j != i) {
        if (abs(a_ji[j]) > 1e-20) {
```

```

        A[IDX(j, k, N)] = A[IDX(j, k, N)] * a_ji[j];
    }
}

--global__ void operation_C(double *A, double *a_ji, int i, int N) {
    int j = blockIdx.y * blockDim.y + threadIdx.y;
    int k = blockIdx.x * blockDim.x + threadIdx.x;

    if (j < N && k < N+1 && j != i) {
        if (abs(a_ji[j]) > 1e-20) {
            A[IDX(j,k,N)] = A[IDX(j,k,N)] - A[IDX(i,k,N)];
        }

        if (abs(A[IDX(j,k,N)]) < 1e-10)
            A[IDX(j,k,N)] = 0.0;
    }
}

--global__ void clean_pivot_column(double *A, int N) {
    int j = blockIdx.x * blockDim.x + threadIdx.x; // Wiersz

    if (j < N && j != i) {
        A[IDX(j, i, N)] = 0.0;
    }
}

--global__ void operation_D(double *A, double* d_i, int N) {
    int i = blockDim.x * blockIdx.x + threadIdx.x;
    if (i < N) {
        if (abs(A[IDX(i,i,N)]) > 1e-20)
            d_i[i] = 1.0 / A[IDX(i,i,N)];
        else
            d_i[i] = 1.0;
    }
}

--global__ void operation_E(double *A, double* d_i, int N) {
    int i = blockDim.y * blockIdx.y + threadIdx.y;
    int k = blockIdx.x * blockDim.x + threadIdx.x;
    if (i < N && k < N +1)
        A[IDX(i,k,N)] = A[IDX(i,k,N)] * d_i[i];
}

// Macierz wraz z doklejonym wektorem wyrazow wolnych
void gauss_jordan(double * A, int N){
    ...

    for(int i=0;i<N;i++){
        operation_A<<<blocksPerGrid1D, threadsPerBlock1D>>>(d_A,d_multipliers,i,N);
        cudaDeviceSynchronize();

        operation_B<<<blocksPerGrid2D, threadsPerBlock2D>>>(d_A,d_multipliers,i,N);
        cudaDeviceSynchronize();

        operation_C<<<blocksPerGrid2D, threadsPerBlock2D>>>(d_A,d_multipliers,i,N);
        cudaDeviceSynchronize();

        clean_pivot_column<<<blocksPerGrid1D, threadsPerBlock1D>>>(d_A,i,N);
        cudaDeviceSynchronize();
    }

    operation_D<<<blocksPerGrid1D, threadsPerBlock1D>>>(d_A,d_multipliers,N);
    cudaDeviceSynchronize();

    operation_E<<<blocksPerGrid2D, threadsPerBlock2D>>>(d_A,d_multipliers,N);
    cudaDeviceSynchronize();
    ...
}

```

### 3.3 Wersja 2: Implementacja stabilna

W celu rozwiązania problemów ze stabilnością wprowadzono dwie kluczowe zmiany:

1. **Zmiana definicji mnożnika:** Zastosowano standardową definicję  $a_{ji} = \frac{A_{ji}}{A_{ii}}$ , co jest numerycznie bezpieczne (zakładając, że na przekątnej nie ma zera).
2. **Połączenie kerneli:** Połączono operacje B i C w jeden kernel `operation_BC`. Zmniejsza to nałożenie pracy na kernele, jednocześnie zachowując poprawność logiczną.
3. **Progowanie:** Dodano warunki ignorujące wartości bliskie zeru ( $< 10^{-20}$ ) oraz "twarde zerowanie" kolumny pivota, aby uniknąć akumulacji błędów zaokrągleń.

Dzięki tym zmianom program poprawnie rozwiązuje układy równań dla  $N = 400$  i większych.

```
--global__ void operation_A(double *A, double *a_ji, int i, int N) {
    ...
    a_ji[j] = A[IDX(j, i, N)] / A[IDX(i, i, N)];
    ...
}

// Połączone operacje B i C
--global__ void operation_BC(double *A, double *a_ji, int i, int N) {
    int j = blockIdx.y * blockDim.y + threadIdx.y;
    int k = blockIdx.x * blockDim.x + threadIdx.x;

    if (j < N && k < N + 1 && j != i) {
        if (abs(a_ji[j]) > 1e-20) {
            A[IDX(j, k, N)] = A[IDX(j, k, N)] - A[IDX(i, k, N)] * a_ji[j];
        }
    }
}
...

void gauss_jordan(double * A, int N){
    ...
    for(int i=0;i<N;i++){
        operation_A<<<blocksPerGrid1D, threadsPerBlock1D>>>(d_A,d_multipliers,i,N);
        cudaDeviceSynchronize();

        operation_BC<<<blocksPerGrid2D, threadsPerBlock2D>>>(d_A,d_multipliers,i,N);
        cudaDeviceSynchronize();

        clean_pivot_column<<<blocksPerGrid1D, threadsPerBlock1D>>>(d_A,i,N);
        cudaDeviceSynchronize();
    }
    ...
}
```

## 4 Podsumowanie

Zrealizowano implementację algorytmu Gaussa-Jordana na GPU, która dzięki optymalizacjom numerycznym (zmiana mnożnika) i strukturalnym (łączenie kerneli) osiąga stabilność dla dużych układów równań. Analiza śladowa pozwoliła na poprawne zidentyfikowanie zależności, co umożliwiło efektywne zrównoleglenie procesu eliminacji.